

#### **4 CLIMA E POLUIÇÃO DO AR NO ESTADO DE SÃO PAULO**

##### **4.1 ASPECTOS CLIMÁTICOS**

*4.1.1 Região Metropolitana de São Paulo*

*4.1.2 Cubatão*

*4.1.3 Região Metropolitana de Campinas*

*4.1.4 Sorocaba*

*4.1.5 São José dos Campos*

##### **4.2 ASPECTOS SAZONAIS DA POLUIÇÃO DO AR EM SÃO PAULO**

## 4 CLIMA E POLUIÇÃO DO AR NO ESTADO DE SÃO PAULO

### 4.1 Aspectos Climáticos

Em termos de precipitação, o clima do Estado de São Paulo pode ser dividido em duas estações predominantes: uma estação chuvosa que compreende, o período de outubro a abril, e outra estação seca que vai de maio a setembro. A estação chuvosa é influenciada pelo aquecimento continental que, associado à convecção tropical, sistemas extratropicais (frentes frias) e áreas de instabilidade continental, favorece a ocorrência de chuvas abundantes. Na estação seca, o clima é predominantemente influenciado pela passagem rápida de frentes frias provenientes do sul do continente, sendo essa estação caracterizada não só pela diminuição da precipitação, mas também pela diminuição das temperaturas e ocorrência de períodos de grande estabilidade atmosférica, proporcionando com isso condições mais desfavoráveis à dispersão de poluentes na atmosfera.

Além das características gerais observadas nas duas estações, o estado apresenta ainda regiões com fortes contrastes climáticos, resultado das diferentes características geográficas como relevo e vegetação. Entre os fatores geográficos que influenciam na climatologia nas escalas local e regional pode-se destacar a proximidade do mar, a presença de montanhas e depressões, entre outros, que criam fenômenos como brisas marítima e terrestre, circulação de vale-montanha, etc.

**Tabela 21 – Dados climatológicos anuais de alguns municípios do Estado de São Paulo**

PARÂMETRO	SÃO PAULO	SANTOS	CATANDUVA	C. DO JORDÃO	ITAPEVA
	792 m	14 m	536 m	1579 m	647 m
Temperatura Média (°C)	19,3	21,3	22,4	13,4	18,1
Precipitação Total (mm)	1455	2081	1338	1783	1232
Umidade Rel. Média (%)	78	80	69	83	73
Insol. Total (horas e décimos)	1733	1494	2524	1578	2102
Nebulosidade Média (0-10)	7,2	6,3	4,8	6,4	5,7

Fonte: Instituto Nacional de Meteorologia - INMET

A tabela acima apresenta algumas das normais climatológicas de 30 anos (1961-1990) em municípios com diferentes condições climáticas. Pode-se perceber diferenças significativas entre as regiões. O município de Santos, na região litorânea, possui um clima úmido, quente, altos índices de precipitação e uma insolação menor relativamente às outras áreas. Em contraposição, em Catanduva, no noroeste do estado, o clima é quente e seco, com insolação alta e precipitação mais baixa. A região de Itapeva, localizada ao sul do estado, apresenta parâmetros climáticos intermediários. O município de Campos do Jordão, localizado na Serra da Mantiqueira é caracterizado por temperaturas mais baixas, umidade e precipitação anual elevadas. Por sua localização, a cidade de São Paulo sofre influências tanto da circulação terra-mar quanto do aquecimento continental e apresenta valores normalmente intermediários com relação às variáveis meteorológicas.

A seguir, faz-se então uma descrição mais detalhada das condições climáticas da RMSP, Campinas, Cubatão, Sorocaba e São José dos Campos, regiões que apresentam avaliação mais completa em termos de qualidade do ar.

#### 4.1.1 Região Metropolitana de São Paulo

Durante o período chuvoso, grandes áreas de instabilidade alimentadas pela umidade proveniente do interior do continente se formam na região sul e sudeste e se associam à passagem de frentes frias organizando, dessa forma, intensa atividade convectiva e aumentando sobremaneira a precipitação na faixa leste do estado, onde se encontra a RMSP. Dessa forma, durante este período as condições de dispersão dos poluentes emitidos na atmosfera são bastante favoráveis.

No período seco, a região encontra-se sob o domínio dos anticiclones (sistemas de altas pressões) subtropical e polar. Os anticiclones que atuam nesse período são de dois tipos: os anticiclones polares que podem ser continentais ou marítimos e anticiclone subtropical marítimo. Os sistemas frontais, provenientes do extremo sul do continente, atuam de maneira rápida na região, causando pouca precipitação.

Estudos mostram que quando a RMSP, durante o período seco, está sob a atuação do anticiclone subtropical marítimo e uma frente fria se encontra ao sul do estado, a condição meteorológica na região provoca uma diminuição da velocidade do vento (normalmente inferior a 1,5m/s), muitas horas de calmaria (velocidade do vento em superfície inferior a 0,5m/s), céu claro, grande estabilidade atmosférica e formação de inversão térmica muito próxima à superfície (abaixo de 200m), condições estas desfavoráveis à dispersão dos poluentes emitidos na RMSP. Normalmente, essa situação de estagnação atmosférica é interrompida com a chegada na região de uma nova massa de ar associada a um sistema frontal, aumentando a ventilação, instabilidade e, em muitos casos, provocando a ocorrência de precipitação. Outra peculiaridade é que no período seco a umidade relativa chega a atingir valores de 15%, principalmente no mês de setembro, acarretando um grande desconforto à população.

Alguns estudos mostram ainda que o desenvolvimento urbano acelerado da região a partir dos anos 50 ocasionou o processo de formação de ilha de calor. Este processo pode ter provocado algumas mudanças no clima da região, tais como a diminuição de nevoeiros no centro da cidade e diminuição da garoa típica que ocorria na região.

#### **4.1.2 Cubatão**

Em virtude de sua localização, o fluxo de vento e conseqüentemente as condições de dispersão dos poluentes dentro da área de Cubatão são fortemente influenciadas pela topografia local, sob todas as condições meteorológicas. Isso é particularmente importante sob o domínio de anticiclones com céu claro, quando os deslocamentos atmosféricos na área são quase dominados pelos fenômenos meso e micrometeorológicos.

Podem ser identificadas duas bacias aéreas principais: a do Vale do Mogi, que se estende de norte para nordeste da Vila Parisi e a área urbana de Cubatão, entre a montanha (Serra do Mar) e a região de manguezal. O clima na região está sujeito às variações de posição do anticiclone marítimo tropical, com os ventos de leste soprando da costa. A figura 5 mostra a situação topográfica de Cubatão.

O comportamento do vento de drenagem é muito localizado e depende do horário, da incidência solar e do ângulo de declividade. O escoamento do vento de drenagem começa depois do pôr-do-sol ou mais cedo e é favorecido pelos declives voltados para norte-noroeste, que são fracamente aquecidos durante o dia. Fortes ventos de drenagem vindos do Vale do Mogi e dos declives voltados para nordeste do fundo do Vale do Quilombo fundem-se para levar as emissões industriais na direção da Vila Parisi. Observações realizadas ao amanhecer, no fundo do Vale do Mogi, mostram que a massa de ar estável, com a maior parte das emissões das indústrias de fertilizantes, desloca-se da base da montanha até a área urbana de Cubatão.

O aquecimento solar dos declives resulta no desenvolvimento de ventos anabáticos e de brisas marítimas facilmente visualizados pela trajetória das plumas das chaminés. Estes ventos são geralmente associados ao aumento da concentração de poeira na Vila Parisi. Durante o inverno, pela manhã, há formação de camadas de inversões térmicas de superfície de diversas espessuras e de diferentes intensidades.

Estudos revelam que, assim como na RMSP, no inverno as condições meteorológicas são mais desfavoráveis à dispersão e diluição dos poluentes na atmosfera. Assim, deve-se objetivar a máxima redução da emissão de poluentes nesta época do ano. A grande variação da pluviosidade na região é controlada pelas circulações de vento mar-terra e montanha-vale, havendo uma grande influência da convergência da brisa marítima na variação diurna de precipitação sobre Cubatão.

#### **4.1.3 Região Metropolitana de Campinas**

A Região Metropolitana de Campinas localiza-se a 100 quilômetros a noroeste da capital do Estado, em uma região geologicamente de contato entre os terrenos do cristalino do Planalto Paulista a leste e a oeste com a Depressão Periférica Paulista de terrenos sedimentares. Seu relevo é pouco ondulado com altitudes variando de 680 a 690 metros. O município de Campinas apresenta temperatura média entre 18 e 22°C nos meses de maio a setembro e entre 22 e 24°C nos meses de outubro a abril. A precipitação média anual é de 1.470mm, sendo que cerca de 80% ocorre no período de outubro a março. Os ventos predominantes são do quadrante este a sul. Assim como na RMSP, durante o período seco, a umidade relativa chega a atingir valores de 15%, principalmente no mês de setembro, acarretando um grande desconforto à população.

#### **4.1.4 Sorocaba**

O município de Sorocaba situa-se em uma região cujo relevo pode ser caracterizado como levemente ondulado a ondulado com altitude média de 600 metros, sendo que seu ponto mais alto chega a 1.028 metros. Com relação a seu clima, a cidade apresenta uma temperatura média das máximas em torno de 30°C no verão e média das temperaturas mínimas de 12°C no inverno. A precipitação média anual é de 1.350mm e cerca de 80% ocorre no período de outubro a março. Os ventos predominantes são do quadrante este a sul. Saliente-se que, assim como em outras regiões do Estado a umidade relativa do ar, no período seco, chega a atingir valores de 15%, principalmente no mês de setembro.

#### **4.1.5 São José dos Campos**

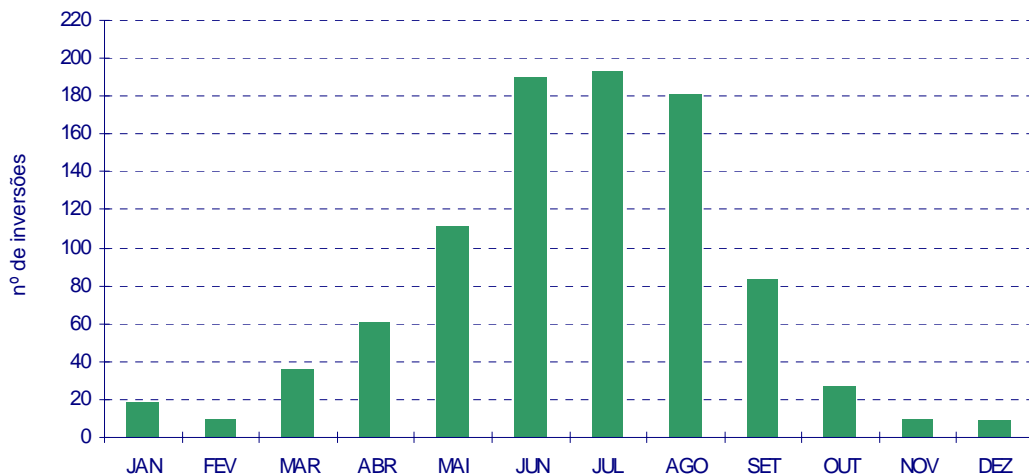
Seu relevo pode ser descrito em duas regiões: uma porção ao norte, cerca de 45% do município, confronta-se com a Serra da Mantiqueira, cujas altitudes variam de 900 a 2.082 metros e com atividade basicamente pastoril. A outra porção ao sul, onde fica a cidade, possui um relevo brando e suave, com altitudes variando de 550 a 690 metros, composto por uma série de platôs entrecortados de pequenos vales e de extensas planícies marginais ao Rio Paraíba do Sul. Seu clima classificado como tropical de altitude apresenta uma temperatura média anual de 20°C, temperatura média das máximas no verão em torno de 30°C e a média das temperaturas mínimas no inverno de 12°C. Cerca de 70% de sua precipitação anual ocorre no período de novembro a março. Os ventos predominantes são de nordeste a sudeste.

### **4.2 Aspectos Sazonais da Poluição do Ar em São Paulo**

A concentração dos poluentes na atmosfera depende, basicamente, da quantidade dos poluentes emitidos pelas fontes e das condições meteorológicas reinantes. O Estado de São Paulo possui, conforme mostrado no item 4.1, variações sazonais significativas das condições atmosféricas, distinguindo-se nitidamente as condições climáticas de inverno e verão.

Os resultados obtidos em estudos realizados na RMSP mostram que os episódios mais intensos de poluição do ar, exceção feita aos episódios por ozônio, ocorrem na presença de um sistema de alta pressão (anticiclone) semi-estacionário sobre a região, que provoca condição meteorológica desfavorável à dispersão dos poluentes, com a atuação de ventos fracos e a formação de inversões térmicas próximas à superfície, entre outros fenômenos observados. A mudança desta situação de estagnação ocorre normalmente quando um sistema frontal atinge a região, instabilizando a atmosfera e aumentando a ventilação, o que favorece a dispersão dos poluentes. Além disso, quando um sistema frontal passa sobre São Paulo, a massa de ar poluída é substituída por uma nova massa de ar.

A figura 8 mostra o perfil da ocorrência de inversões térmicas abaixo de 200 metros. Estas inversões são as que mais contribuem para o aumento da concentração de poluentes mais próxima à superfície. Nesta figura pode-se observar que a frequência das inversões aumenta consideravelmente a partir de maio e se mantém até setembro, com máximas em junho, julho e agosto. Conforme se verá mais adiante, verifica-se que na RMSP, este gráfico tem um perfil semelhante aos gráficos de CO e MP<sub>10</sub>.

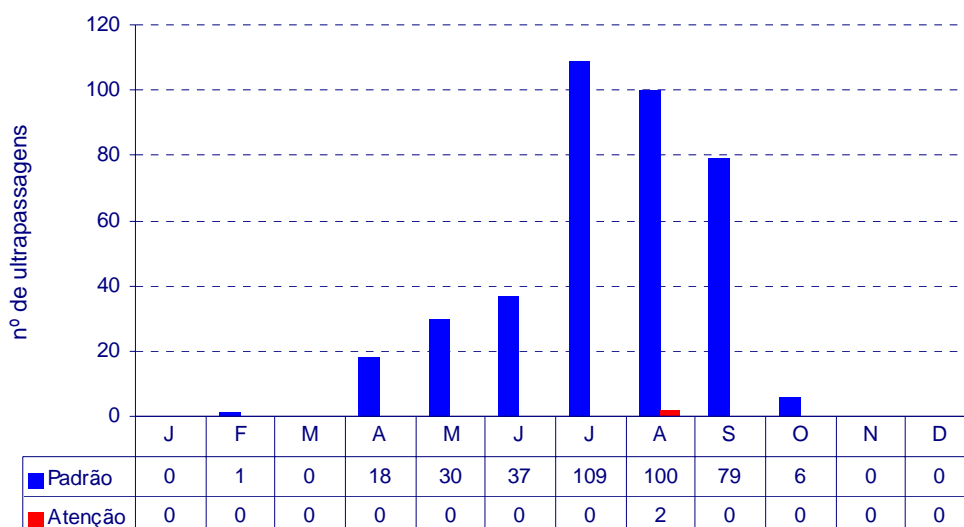


Fonte: dados da Força Aérea Brasileira

**Figura 8 – Número de Inversões Térmicas inferior a 200m (1985 a 2003) – RMSP Aeroporto de Congonhas e Campo de Marte**

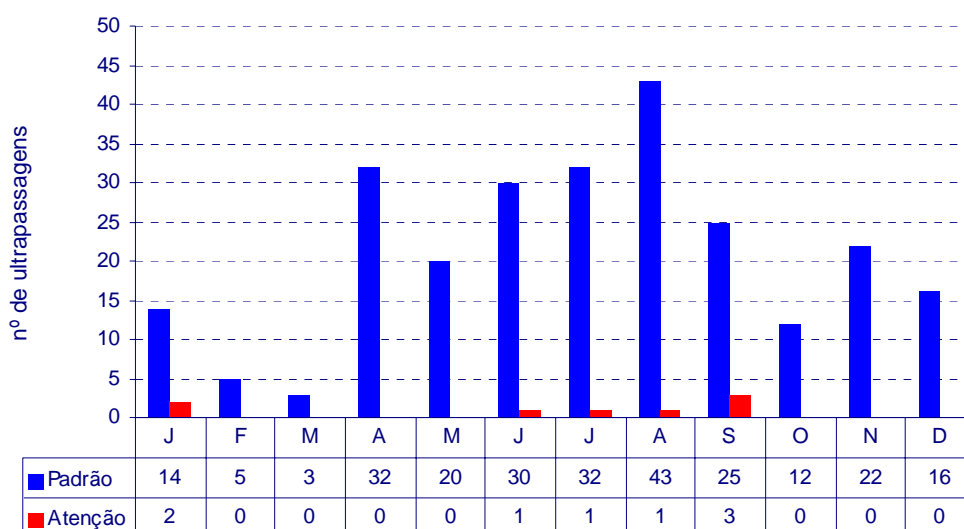
As figuras 9 a 12 mostram a distribuição mensal do número de ultrapassagens do padrão e nível de atenção na RMSP e Cubatão para alguns dos poluentes monitorados. Para elaboração das análises, consideraram-se todas as estações que possuem dados representativos no período.

A figura 9 mostra a distribuição mensal do número de ultrapassagens do padrão e nível de atenção para o poluente  $MP_{10}$  na RMSP. Observa-se claramente que os episódios ocorrem preferencialmente nos meses de inverno, com ocorrência de nível de atenção no mês de agosto. Em Cubatão V. Parisi (figura 10), também há uma forte predominância de ocorrência de episódios nos meses de inverno. Nota-se, contudo, um número proporcionalmente maior de ultrapassagens fora do período de inverno em V. Parisi do que na RMSP.



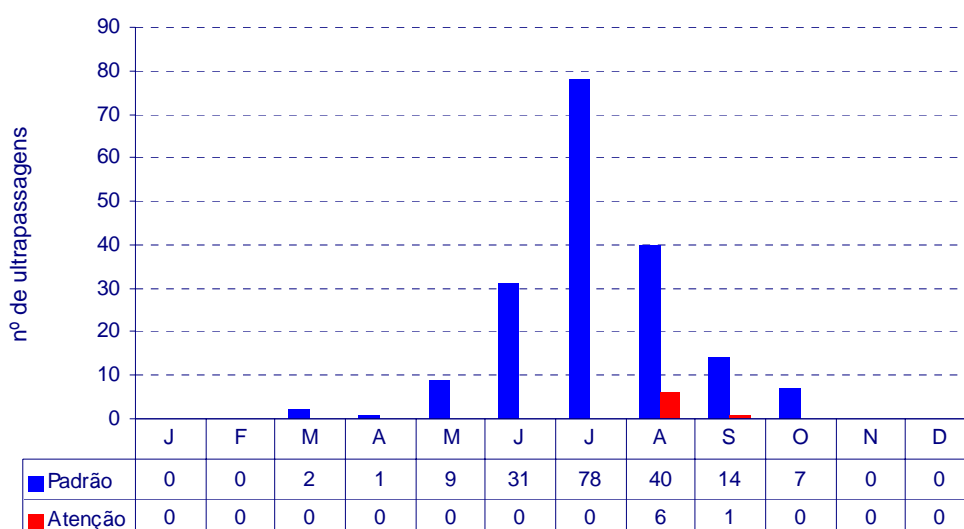
Base: todas as estações que monitoram este poluente na RMSP

**Figura 9 -  $MP_{10}$  - Número de ultrapassagens do padrão e nível de atenção por mês (1997 a 2003) RMSP**



**Figura 10 - MP<sub>10</sub> - Número de ultrapassagens do padrão e nível de atenção por mês (1997 a 2003) - Cubatão- V. Parisi**

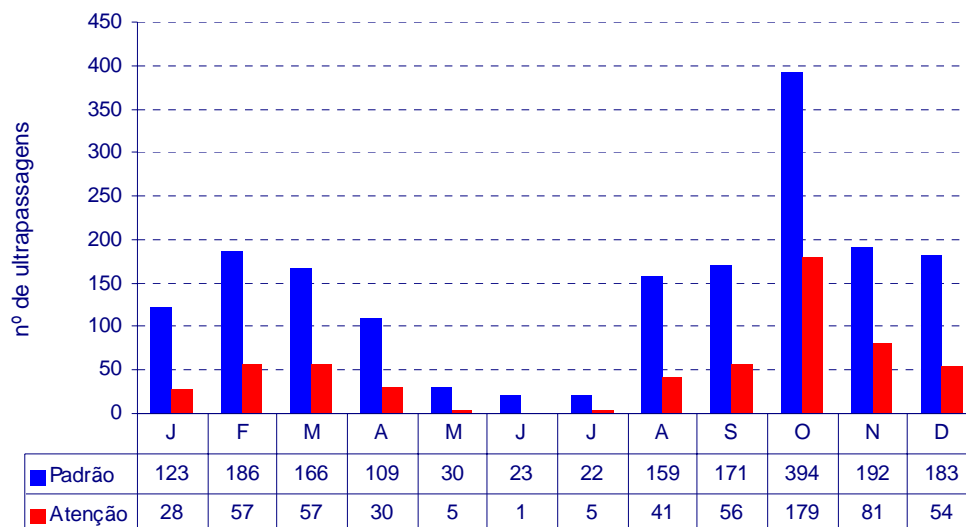
A figura 11 ilustra a distribuição dos episódios de ultrapassagens do padrão e nível de atenção por CO (médias de 8 horas) durante os meses do ano na RMSP. Também para o CO, observa-se que os episódios ocorrem principalmente nos meses de inverno, com maior frequência nos meses de junho, julho e agosto.



Base: todas as estações que monitoram este poluente na RMSP

**Figura 11 - CO - Número de ultrapassagens do padrão e nível de atenção por mês (1997 a 2003) - RMSP (médias de 8 horas)**

O ozônio apresenta uma distribuição de episódios ao longo dos meses totalmente distinta dos poluentes primários (figura 12). Como este poluente é formado na atmosfera por reações fotoquímicas que dependem da intensidade da radiação solar, dentre outros fatores, podemos observar na figura 12 que a menor frequência de episódios na RMSP ocorre nos meses de maio a julho, época de menores temperaturas e radiação solar. A partir de agosto, com o aumento da temperatura e da radiação, a frequência de episódios de ozônio aumenta. De janeiro a abril, embora as temperaturas sejam elevadas, não se observa um número tão grande de ultrapassagens quanto no período de agosto a dezembro, o que pode ser justificado pelo aumento da nebulosidade no decorrer do dia, que reduz a radiação incidente nos baixos níveis da atmosfera.



Base: todas as estações que monitoram este poluente na RMSP

**Figura 12 - O<sub>3</sub> - Número de ultrapassagens do padrão e níveis críticos por mês (1997 a 2003) – RMSP**